

Для изотропных тел функция W_* может быть записана как функция от скалярных инвариантов совокупности указанных тензоров. Если учитывать только тензоры $\vec{\nabla}\hat{\sigma}$, $\vec{\nabla}\times\hat{\sigma}$ и $\frac{d}{d\tau}\hat{\sigma}$, пренебечь различием между субстанциональными и локальными производными по времени ($\frac{d\hat{\sigma}}{d\tau} \approx \frac{\partial\hat{\sigma}}{\partial\tau}$) и ограничиться скалярными инвариантами не выше второго порядка, то функция W_* является функцией следующих инвариантов:

$$\begin{aligned} I_1^{(1)} &= \mu_i^{jk} \mu^i{}_{jk}, & I_2^{(1)} &= \mu_i^{jk} \mu_{kj}{}^i, & I_3^{(1)} &= \mu_i^{ik} \mu_k{}^j{}_j, \\ I_4^{(1)} &= \mu_i^{ik} \mu_j{}^j{}_k, & I_5^{(1)} &= \mu_i{}^i{}_j \mu^j{}^k{}_k; \\ I_1^{(2)} &= \eta_i{}^i, & I_2^{(2)} &= \eta_i{}^j \eta_j{}^i, & I_3^{(2)} &= \eta_i{}^{ij} \eta_{ij}; \\ I_1^{(3)} &= \frac{\partial\sigma^i{}_i}{\partial\tau}, & I_2^{(3)} &= \frac{\partial\sigma^i{}_i}{\partial\tau} \frac{\partial\sigma^j{}_j}{\partial\tau}, \\ I^{(2,3)} &= \epsilon_{nki} V \sqrt{g} \mu^{nki} \frac{\partial\sigma^j{}_j}{\partial\tau}. \end{aligned} \quad (16)$$

Здесь ϵ_{ijk} — символ Леви — Чивита; $g = \text{Det} \|g_{ij}\|$;

$$\begin{aligned} \mu_i{}^{jk} &\equiv \frac{\partial\sigma^{jk}}{\partial x^i} + \sigma^{jk} \Gamma_{li}^j + \sigma^{jl} \Gamma_{li}^k; & \eta_i{}^j &\equiv (\vec{\nabla} \times \hat{\sigma})_i{}^j = V \sqrt{g} \epsilon_{nki} \mu^{nki}; \\ \mu^{nki} &= \mu_m{}^{kj} g^{am}; \end{aligned}$$

$I_i^{(1)}$, $I_i^{(2)}$, $I_i^{(3)}$ — скалярные инварианты тензоров $\vec{\nabla}\hat{\sigma}$, $\vec{\nabla}\times\hat{\sigma}$ и $\frac{\partial\hat{\sigma}}{\partial\tau}$ соответственно; $I^{(2,3)}$ — скалярный инвариант, общий для тензоров $\vec{\nabla}\hat{\sigma}$ и $\frac{\partial\hat{\sigma}}{\partial\tau}$; $i_1 = \overline{1, 5}$; $i_2 = \overline{1, 3}$; $i_3 = 1, 2$.

Отметим, что дальнейшая конкретизация критериев W и W_* должна выполняться с учетом специфики решаемых задач оптимизации, вида и характера внешних воздействий, условий существования решений формулируемых экстремальных задач термоупругости.

1. Бурак Я. И., Зозуляк Ю. Д., Гера Б. В. Оптимизация переходных процессов в термоупругих телах. — Киев: Наук. думка, 1984.—160 с.
2. Григолюк Э. И., Бурак Я. И., Кручкович В. Ю., Подстригач Я. С. К определению режимов локальной термообработки цилиндрических оболочек с остаточными напряжениями. — Физ.-хим. механика материалов, 1969, № 3, с. 361—369.
3. Григолюк Э. И., Подстригач Я. С., Бурак Я. И. Оптимизация нагрева оболочек и пластин. — Киев: Наук. думка, 1979.—364 с.
4. Коваленко А. Д. Введение в термоупругость. — Киев: Наук. думка, 1965.—204 с.
5. Підстригач Я. С., Ярема С. Я. Температурні напруження в оболонках. — К.: Вид-во АН УРСР, 1961.—212 с.

Ин-т прикладных проблем
механики и математики АН УССР,
Львов

Получено 21.12.83

УДК 539.3

Н. В. Баничук, В. И. Герман, В. В. Кобелев

АНАЛИЗ ОПТИМАЛЬНЫХ НЕОДНОРОДНЫХ РАСПРЕДЕЛЕНИЙ АРМИРУЮЩЕГО МАТЕРИАЛА В КОНСТРУКЦИЯХ ИЗ КОМПОЗИТА

Анализ оптимальных неоднородных распределений армирующего материала в конструкциях из композита может быть проведен с использованием различных расчетных схем. По способу введения управляющих функций расчетные схемы в задачах оптимизации делятся на схемы с применением феноменологического подхода и схемы, основанные на

понятии эффективных модулей. В первой группе схем предполагается непосредственное использование уравнений теории упругости анизотропного композиционного материала. Тензор упругих постоянных C_{ijkl} определяется из испытаний образцов армированных материалов. Во второй группе схем тензор упругих постоянных C_{ijkl} определяется механическими и геометрическими характеристиками фаз (внутренними свойствами) композита.

По степени анизотропии композиционные материалы делятся на группы изотропных и анизотропных композитов. К первой группе относятся хаотически армированные гранулированные и коротковолокнистые композиты, ко второй — слоистые, волокнистые и текстурированные композиты. Эффективные модули композиционных материалов зависят от формы, размеров, ориентации армирующих включений и для конкретных типов материалов определяются методами микромеханики композитов [2, 3]. Считается, что модули упругости составляющих фаз композита (арматуры и матрицы) заданы. Основной характеристикой, определяющей величины эффективных упругих постоянных композиционного материала, является концентрация армирующих включений $\eta(x_1, x_2)$, $(x_1, x_2) \in \Omega$, Ω — область, занимаемая рассматриваемым элементом конструкции. Для анизотропных композитов можно ввести дополнительную управляющую функцию, а именно: угол $\alpha(x_1, x_2)$, который образуют локальные оси анизотропии с введенной системой координат Ox_1x_2 . В случае, когда направления укладки волокон ориентированы относительно преимущественного направления укладки $\alpha(x_1, x_2)$ и по некоторому фиксированному закону распределены в конусе с углом раствора $\beta(x_1, x_2)$ (текстурированный композит), в качестве управляющей функции принимается также угол текстуры $\beta(x_1, x_2)$.

Подчеркнем, что управляющие функции $\eta(x_1, x_2)$, $\alpha(x_1, x_2)$, $\beta(x_1, x_2)$, определяющие эффективные модули упругости композита, изменяются в области Ω , занимаемой материалом элемента конструкции.

В реальных условиях работы конструкции реализуется сильно неоднородное напряженно-деформированное состояние, которое характеризуется наличием областей концентрации напряжений. Снижения концентрации напряжений можно добиться путем рационального армирования, т. е. создания такой внутренней структуры материала, которая в наибольшей степени отвечает бы требованиям обеспечения несущей способности конструкции в целом. Перемещение материала из областей конструкции с малой интенсивностью напряжений в области, воспринимающие основную нагрузку (управление концентрацией включений), и подкрепление сильно нагруженных направлений (управление углом укладки и текстурой) на практике могут быть реализованы путем использования неоднородных и анизотропных материалов.

1. Постановка и основные соотношения задачи минимизации податливости. Рассмотрим задачу минимизации податливости слоисто-волокнистой упругой композиционной пластины, которая представляет собой квазиоднородный пакет, состоящий из монослоев, армированных высокомодульными волокнами, и прослойки из связующего. Пластина занимает область Ω плоскости x_1x_2 , ограниченную кривой $\Gamma = \Gamma_q + \Gamma_u$. На части границы Γ_u пластина закреплена ($u_1 = 0$, $u_2 = 0$), а на части Γ_q заданы усилия q_1 и q_2 . Минимизируемый функционал (податливость) определяется интегралом $\mathcal{J} = \int q_i u_i d\Gamma_q$, и рассматривается задача

$$\mathcal{J}^* = \min_{\eta, \alpha, \beta} \mathcal{J}. \quad (1)$$

Здесь минимум отыскивается на множестве управляющих функций $\{\eta(x_k), \alpha(x_k), \beta(x_k)\}$, $k = 1, 2$, удовлетворяющих ограничениям

$$0 \leq \eta_{\min} \leq \eta(x_1, x_2) \leq \eta_{\max} \leq 1, \quad -\pi \leq \alpha(x_1, x_2) \leq \pi, \\ 0 \leq \beta_{\min} \leq \beta(x_1, x_2) \leq \beta_{\max} \leq \pi/2. \quad (2)$$

Полное количество армирующего материала (волокон) фиксировано:

$$I \equiv \int \eta(x_1, x_2) d\Omega = \text{const}. \quad (3)$$

Действительное распределение смещений u_i , $i = 1, 2$, реализует минимум функционала

$$\Pi = \int C_{ijkl} \varepsilon_{ij} \varepsilon_{kl} d\Omega - 2 \int q u_i d\Gamma_q, \quad \varepsilon_{ij} = (u_{i,j} + u_{j,i})/2. \quad (4)$$

То обстоятельство, что для минимума функционала (4) имеем $\mathcal{J} = -\Pi$, позволяет свести задачу (1) к последовательному отысканию минимума и максимума функционала Π :

$$\mathcal{J}^* = -\max_{\eta, \alpha, \beta} \min_u \Pi \quad (5)$$

с учетом ограничений (2), (3).

Входящие в (4) приведенные модули упругости C_{ijkl} даются формулами

$$C_{ijkl} = (1 - \chi) C'_{ijkl} + \chi \int_{-\pi/2}^{\pi/2} C''_{mnpq} n_m n_i n_n n_j n_p n_k n_r l p (\alpha + \Theta) d\Theta,$$

где n_{ij} — компоненты тензора поворота ($n_{11} = n_{22} = \cos \Theta$, $n_{12} = -n_{21} = \sin \Theta$); $\chi = N_a/N$ — коэффициент армирования; $N = N_a + N_c$ — полное число слоев квазиоднородного по толщине пакета; N_a — число армированных волокнами монослоев; N_c — число слоев связующего; $p(\Theta)$ — функция текстуры; C'_{ijkl} , C''_{ijkl} — приведенные модули упругости слоев связующего и армированных монослоев. Последние вычисляются по формулам

$$C''_{1111} = AE_{11}, \quad C''_{2222} = AE_{22}, \quad C''_{1212} = \mu_{12}, \\ C''_{1122} = C''_{2211} = A\nu_{21}E_{11}, \quad A = 1 - \nu_{12}\nu_{21}.$$

Усредненные технические постоянные монослоя зависят от концентрации армирующих волокон $\eta(x_1, x_2)$ и даются формулами [2]

$$E_{11} = \eta E_f + (1 - \eta) E_m, \quad E_{22} = E_f E_m / [\eta E_m + (1 - \eta) E_f], \\ \nu_{21} = \nu_{12} E_{11} / E_{22} = \eta \nu_f + (1 - \eta) \nu_m, \quad \mu_{12} = G_f G_m / [\eta G_m + (1 - \eta) G_f].$$

В приведенных ниже расчетах использовались следующие значения модулей Юнга и коэффициентов Пуассона волокна и матрицы:

$$E_f = 4,13 \cdot 10^{11} \text{ Па}, \quad \nu_f = 0,2; \quad E_m = 3,45 \cdot 10^9 \text{ Па}, \quad \nu_m = 0,34.$$

Внутренняя структура текстурированного слоистого композита характеризуется разбросом углов ориентации волокон в монослоях относительно преимущественного направления $\alpha(x_k)$. Функция текстуры $p(\Theta)$ равна вероятности отклонения элементарного волокна на угол Θ от преимущественного направления укладки. Число армированных монослоев, направления волокон в которых лежат в интервале $(\alpha + \Theta - d\Theta/2, \alpha + \Theta + d\Theta/2)$, равно $dN_a = N_a p(\alpha + \Theta) d\Theta$.

Ниже в конкретных расчетах использовалась ступенчатая функция распределения $p(\Theta)$ в виде

$$p(\Theta) = \begin{cases} 0, & \Theta \notin [-\beta, \beta], \\ (2\beta(x_1, x_2))^{-1}, & \Theta \in [-\beta, \beta], \end{cases}$$

где β имеет смысл угла текстуры. Если $\beta = 0$, то $p(\Theta) = \delta(\Theta)$ ($\delta(\Theta)$ — функция Дирака).

2. Метод решения задачи оптимизации. Задача оптимизации (5) является самосопряженной, условия оптимальности выписываются с помощью известных методов [1] и из-за краткости изложения здесь не приводятся. Для численного решения задачи (5) используется один из вариантов метода последовательной оптимизации [1], в котором «прямая» задача отыскания внутреннего минимума в (5) решалась методом конечных элементов, а улучшающие вариации управляющих функций формировались по методу градиента. Ограничения (2) снимались с помощью преобразования Валентайна [1]. Алгоритм допускает отобра-

жение сложной исходной области на каноническую квадратную. Квадратная область разбивалась на 169 четырехугольных полностью согласованных комбинированных элементов, каждый из которых состоит из 16 треугольных симплексов. Аппроксимация функционала (4), полученная с помощью описанного выше конечного элемента, использовалась для нахождения приближенного минимума (4) методом ускоренного покоординатного спуска. Заметим, что этот метод в терминах решения системы линейных уравнений совпадает с методом последовательной верхней релаксации. Указанный алгоритм реализован в виде программы на языке ФОРТРАН. Характерное время расчета варианта задачи (5), достаточное для получения оптимальных распределений управляющих функций с точностью не менее 10^{-4} , составляло 30 мин на ЭВМ типа ЕС-1055.

3. Результаты расчетов. На рис. 1 представлены результаты расчетов для случая, когда функции $\alpha(x_k)$, $\beta(x_k)$ фиксированы ($\alpha \equiv 0$, $\beta = \pi/2$, $\chi = 1$), а $\eta(x_k)$ ($0 \leq \eta \leq 0,5$) является искомой управляющей функцией. В этом случае пакет монослоев изотропен в плоскости $x_1 x_2$.

Изолиниями показано оптимальное распределение концентраций армирующих волокон для четверти сечения квадратного образца, в котором реализовано напряженно-деформированное состояние с граничными условиями в перемещениях $u_1(0, x_2) = -u_1(a, x_2) = 1 - 2x_2/a$, $u_2(0, x_2) = u_2(a, x_2) = 0$, а стороны $x_2 = 0$, $x_2 = a$ свободны.

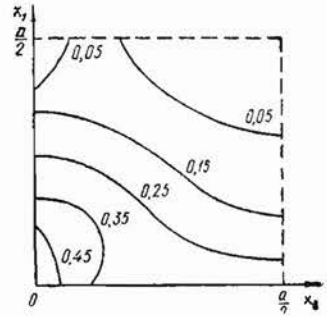


Рис. 1.

На рис. 2 показаны оптимальные направления укладки армирующих волокон в половине квадратной пластины, когда функции $\beta(x_k)$ и $\eta(x_k)$ зафиксированы ($\beta \equiv 0$, $\eta = \chi = 0,5$). Пластина жестко закреплена в области вырезов и нагружена в малой области (на элементарной ячейке).

Выигрыш от оптимизации рассчитывался по формуле $\delta = 1 - \mathcal{J}^*/\mathcal{J}_0$, где \mathcal{J}^* , \mathcal{J}_0 — значения функционала податливости для оптимального и армированного однонаправленными ($\alpha = \pi/2$) волокнами образцов. В рассматриваемой задаче выигрыш от оптимизации составил 45,8%.

Для анализа возможности оптимизации с учетом фактора текстуры рассматривалась параметрическая задача минимизации функционала (3). В данном случае управляющим являлся параметр текстуры β (т. е. текстура постоянна во всей области Ω). Оказывается, что оптимальным выбором параметра β можно снизить значение функционала податливости. Так, для пластины, нагруженной, как показано на рис. 2, оптимальный угол текстуры β (для однородного распределения $\alpha = \pi/2$) равен 55° . При этом выигрыш за счет оптимизации составил 27%.

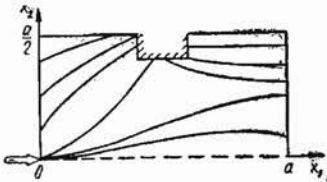


Рис. 2.

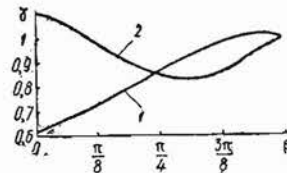


Рис. 3.

На рис. 3 показаны графики зависимости величины $\gamma = \mathcal{J}(\beta)/\mathcal{J}(\pi/2)$ от параметра β . Здесь $\mathcal{J}(\beta)$ — значение функционала, соответствующее углу текстуры β . Кривая 1 соответствует оптимальному распределению $\alpha(x_k)$, приведенному на рис. 2, кривая 2 — ориентации всех волокон под углом $\alpha = \pi/2$. Как видно, наличие текстуры в данном случае только

ухудшает значение функционала. При углах текстуры, превышающих 45° , оптимальный при $\beta = 0$ проект становится неэффективным.

1. Баничук Н. В. Оптимизация форм упругих тел. — М.: Наука, 1980.—256 с.
2. Бологин В. В., Новичков Ю. Н. Механика многослойных конструкций. — М.: Машиностроение, 1980.—375 с.
3. Кристенсен Р. Введение в механику композитов. — М.: Мир, 1982.—336 с.

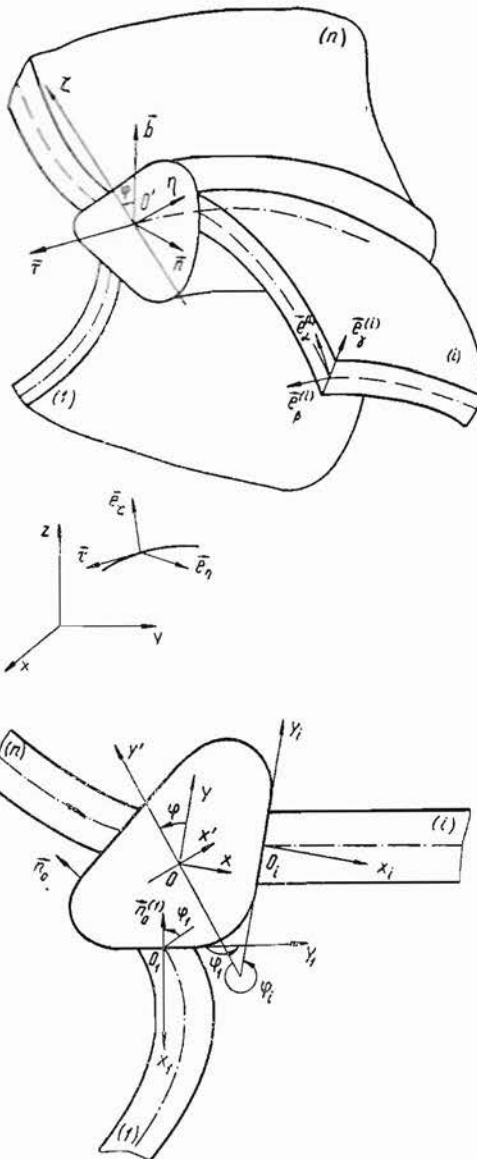
Ин-т проблем механики
АН СССР, Москва

Получено 17.07.84

УДК 539.377 : 629.13.01 : 624.072.4

Н. И. Войтович

УСЛОВИЯ НЕИДЕАЛЬНОГО ТЕРМОМЕХАНИЧЕСКОГО КОНТАКТА СОПРЯЖЕННЫХ ОБОЛОЧЕК



Условия неидеального теплового контакта двух твердых тел, сопряженных с помощью тонкого промежуточного слоя, были получены Я. С. Подстригачем [4, 5]. В дальнейшем он и его ученики, основываясь на изложенных в этих работах идеях, предложили различные обобщения условий неидеального как теплового, так и термомеханического контактов двух тел, сопряженных через элемент типа промежуточного слоя [6, 7, 10], а также двух сопряженных встык пластин [3, 8]. В настоящей работе условия неидеального термомеханического контакта получены в случае, когда количество сопрягаемых тонкостенных элементов (оболочек, пластин) произвольно, сопрягающий элемент имеет произвольное поперечное сечение, взаимное размещение срединных поверхностей оболочек (пластин) и оси сопрягающего их стержня также достаточно произвольно.

Рассмотрим систему, состоящую из n оболочек (пластин) и сопрягающего их плоского криволинейного стержня произвольного поперечного сечения под воздействием тепловых и силовых факторов. Общий вид системы изображен на рис. 1; на рис. 2 представлено ее нормальное к оси стержня сечение. Стержень отнесем к смешанной системе координат

Рис. 1.

Рис. 2.